

201008027A

別添1

厚生労働科学研究費補助金

創薬基盤推進研究事業

漢方薬の作用機序を解明するための研究

平成 22 年度

総括研究報告書

研究代表者 鈴木 洋史

研究分担者 高田 龍平

研究分担者 四ノ宮 成祥

研究分担者 松尾 洋孝

研究分担者 牧野 利明

平成 23 年 5 月

目 次

I. 総括研究報告

漢方薬の作用機序を解明するための研究

II. 添付資料

添付資料 1 : URAT1 阻害活性を持つ生薬のスクリーニングに関する資料

添付資料 2 : 生薬に含まれる URAT1 阻害活性物質の探索に関する資料

添付資料 3 : ABCG2 による尿酸輸送活性に関する *in vitro* 評価系の構築に関する
資料

添付資料 4 : ABCG2 の転写活性に着目した *in vitro* 評価系の構築に関する資料

添付資料 5 : ABCG2 の RNA 安定性制御に関する *in vitro* 評価系の構築に関する
資料

厚生労働科学研究費補助金（創薬基盤推進研究事業）
総括研究報告書

研究課題：
漢方薬の作用機序を解明するための研究
(H22-創薬総合-一般-011)

研究代表者：

○鈴木 洋史 (東京大学 医学部附属病院 薬剤部 教授・部長)

研究分担者：

- 高田 龍平 (東京大学 医学部附属病院 薬剤部 助教)
- 四ノ宮 成祥 (防衛医科大学校 分子生体制御学講座 教授)
- 松尾 洋孝 (防衛医科大学校 分子生体制御学講座 講師)
- 牧野 利明 (名古屋市立大学 大学院薬学研究科 准教授)

【研究要旨】

近年、漢方をはじめとする代替・補完医療が欧米でも注目されており、メタボリック症候群や高尿酸血症を含むさまざまな病態において効果があることが認知されているものの、漢方薬の作用機序についての分子レベルでのエビデンスの解明は十分ではない。そこで、本研究は、研究代表者らが同定した尿酸輸送体を含む輸送体の分子機能を指標に、輸送体を標的とする漢方薬・生薬とその成分を同定すること、ひいてはその作用機序を解明することにより、将来的に創薬に繋がる成果を得ることを目的として企画された。

研究初年度である平成 22 年度は、漢方薬の有効成分同定に向けた尿酸輸送体に関する各種スクリーニング系および漢方薬・生薬ライブラリーの構築を中心として研究を進めた。100 種以上の生薬からエキスを抽出し、それらエキスが URAT1 の尿酸輸送活性におよぼす影響について検討した。数種の生薬エキスが URAT1 阻害活性を有することを見出したため、そのうちの 1 種について分液操作を行いさらなる検討を行った結果、ヘキサン画分とブタノール画分において阻害作用が見出された。ABCG2 の尿酸輸送活性・発現調節活性についても、*in vitro* 活性評価系の作出に成功した。

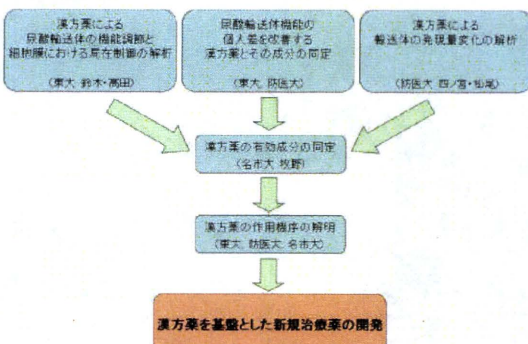
平成 22 年度の検討により、100 種以上の生薬から抽出したエキスのライブラリーを得ることができた。URAT1 による尿酸輸送に対する阻害活性を指標にスクリーニングを行った結果、URAT1 阻害作用を持つ可能性のある複数の生薬を見出し、そのうちの 1 種については分液操作および成分分析により有効成分の候補化合物の存在を見出した。平成 23 年度以降、URAT1 阻害作用を持つ生薬成分についてさらなる解析を行うとともに、GLUT9 による尿酸輸送活性、ABCG2 の輸送活性・発現調節活性に関しても生薬ライブラリーを用いた検討を行う予定である。

A. 研究目的

近年、漢方をはじめとする代替・補完医療が欧米でも注目されており、メタボリック症候群や高尿酸血症を含む種々の病態においても効果があることが認知されている。その一方で、治療の際には漢方医学的な専門知識が必要であり、すべての医師が自由に使いこなせるものではないのが現状である。さらには、漢方薬の作用機序についての分子レベルでのエビデンスの解明が十分でなかったことも、西洋医学を専門とする一般臨床医に活用される機会が少ない原因の一つと考えられる。しかしながら、漢方薬が有効性を持つことも事実であり、有効成分および作用機序が解明されれば、一般臨床医にも活用可能な効果的な治療薬となりうるとともに、新規治療薬の開発に繋がることが期待される。一例として、茵陳蒿湯の有効成分ゲニピンが、ABCC2/MRP2の細胞膜への移行性を正に制御することで利胆作用を発揮するという、黄疸治療の作用機序を研究代表者らが過去に同定した (Hepatology, 2004; AJP, 2007)。このように、漢方薬は様々な生薬の組み合わせによる効果的な薬理作用もさることながら、多様な成分を含むケミカルライブラリーとしても、無限の可能性を秘めている貴重なリソースであると考えられる。

研究代表者らは、最近、痛風の主要な病因遺伝子がABCG2という尿酸輸送体であることを発見し (Science Transl Med, 2009)、日本人の痛風症

例の8割に見られるこの遺伝子多型の個人差によりその病因の多くを説明できることを報告した。この輸送体タンパク質の発現誘導は痛風の根本的治療に結びつく可能性が示唆されており、既存の漢方薬の成分にこのような作用を有するものが存在することが期待される。本研究には、その痛風遺伝子を同定した研究代表者らに加え、漢方薬の有効成分の単離や構造決定を得意とする生薬研究者が研究分担者として参画している。これにより、これまでに研究代表者らが同定した他の尿酸輸送体、URAT1 (Nature, 2002) やGLUT9 (Am J Hum Genet, 2008) を含めた輸送体の分子機能を指標に、輸送体を標的とする漢方薬・生薬とその成分を同定し、ひいてはその作用機序を解明することにより、将来的には創薬に繋がる成果が十分に期待できる (下図)。平成22年度は研究開始初年度であり、漢方薬の有効成分同定に向けた尿酸輸送体に関する各種スクリーニング系および漢方薬・生薬ライブラリーの構築を中心として研究を進めた。



B. 研究方法

1) 生薬サンプルの調製

スクリーニングの対象とした生薬は、わが国で主に漢方薬の原料として流通している生薬（日本薬局方に収載されているものについては局方適合品）を、それぞれツムラ（東京）、大晃生薬（名古屋）、柄本天海堂（大阪）またはウチダ和漢薬（東京）より購入した。以下に、生薬名、購入元、ロット番号を列記する。

アキョウ（大晃生薬、5C01）、イレイセン（ツムラ、21020771）、インチンコウ（ツムラ、22036091）、ウイキョウ（ツムラ、21023321）、ウヤク（大晃生薬、8C25）、エンゴサク（ツムラ、22042871）、オウギ（ツムラ、22043331）、オウゴン（ツムラ、22037381）、オウバク（ツムラ、22038081）、オウレン（ツムラ、22048301）、オンジ（ツムラ、22000701）、ガイヨウ（ツムラ、22031681）、カシュウ（ツムラ、22039451）、カッコン（ツムラ、22040931）、カロコン（ツムラ、22029491）、カロニン（ツムラ、22037861）、カンキョウ（ツムラ、23002281）、カンゾウ（ツムラ、22053201）、キキョウ（ツムラ、22040381）、キクカ（ツムラ、22008841）、キジツ（ツムラ、22043361）、キョウカツ（ツムラ、22041601）、キョウニン（ツムラ、22009451）、クジン（ツムラ、22011021）、ケイガイ（ツムラ、22042881）、ケイヒ（ツムラ、

22044881）、ゲンノショウコ（大晃生薬、ロット番号未記載）、コウカ（ツムラ、22040711）、コウブシ（ツムラ、22005381）、コウベイ（大晃生薬、5G29）、コウボク（ツムラ、22028611）、ゴシツ（ツムラ、22026591）、ゴシュユ（ツムラ、22038071）、ゴボウシ（ツムラ、21054451）、ゴミシ（ツムラ、22026581）、サイコ（ツムラ、22025091）、サイシン（ツムラ、22020521）、サンシシ（ツムラ、22031161）、サンシュユ（ツムラ、22038491）、サンショウ（ツムラ、22004261）、サンソウニン（ツムラ、23006931）、サンヤク（ツムラ、23000221）、ジオウ（乾）（ツムラ、22029541）、ジオウ（熟）（ツムラ、22054311）、ジコッピ（ツムラ、23000421）、シツリシ（ツムラ、22028771）、シャクヤク（皮つき）（ツムラ、22011231）、シャクヤク（皮なし）（ツムラ、22040921）、ジャショウシ（柄本天海堂、291087）、シャゼンシ（ツムラ、22049181）、ジュウヤク（大晃生薬、ロット番号未記載）、シュクシャ（ツムラ、22042491）、ショウキョウ（ツムラ、22046221）、ショウマ（ツムラ、21017241）、シンイ（ツムラ、23012431）、センキュウ（ツムラ、23001371）、センコツ（ツムラ、20009891）、センタイ（大晃生薬、5C30）、ソウジュツ（ツムラ、23001771）、ソウハクヒ（ツムラ、22034951）、ソヨウ（大晃生薬、8F16）、ダイオウ（ツムラ、22041591）、タイソウ（ツムラ、22047121）、タクシャ

(ツムラ、22043631)、チクジョ (ツムラ、22036071)、チクセツニンジン (ツムラ、21018391)、チモ (ツムラ、23005341)、チョウジ (ツムラ、22000321)、チョウトウコウ (ツムラ、22045681)、チョレイ (ツムラ、22045121)、チンピ (ツムラ、23002241)、テンナンショウ (ツムラ、22038971)、テンマ (ツムラ、23011631)、テンモンドウ (ツムラ、23011471)、トウガシ (ツムラ、21057771)、トウキ (ツムラ、22049651)、トウニン (ツムラ、22052901)、ドクカツ (ツムラ、22006261)、ニンジン (ツムラ、23018601)、ニンドウ (ツムラ、22040701)、バイモ (ツムラ、23012111)、バクガ(大晃生薬、7K27)、バクモンドウ (ツムラ、23003151)、ハッカ (ツムラ、22044091)、ハマボウフウ (ツムラ、22047301)、ハング (ツムラ、22042141)、ビャクゴウ (ツムラ、22029511)、ビャクシ (ツムラ、22041851)、ビャクジュツ (ツムラ、23018581)、ビワヨウ (ツムラ、23010081)、ビンロウジ (ツムラ、22031171)、ブクリョウ (ツムラ、23007381)、ブシ (ウチダ和漢薬、8511606)、ボウイ (ツムラ、23008241)、ボウフウ (ツムラ、22049031)、ボクソク (ツムラ、23001531)、ボタンピ (ツムラ、23005351)、ボレイ (ツムラ、23014111)、マオウ (ツムラ、22050411)、マシニン (ツムラ、23018661)、モクツウ (ツムラ、23006161)、モッコウ (ツムラ、

23004371)、ヨクイニン (ツムラ、23018091)、リョウガンニク (ツムラ、22036971)、リュウコツ (ツムラ、23006231)、リュウタン (ツムラ、22009991)、リョウキョウ (ツムラ、23011641)、レンギョウ (ツムラ、23012601)、レンニク (ツムラ、23006011)。

以上の生薬それぞれについて、以下の処理により MeOH 抽出エキスを調製した。生薬 1~30 g 分を 10 倍量の MeOH に浸し、ソニケーターで 30 分間処理した後、ひだろ過を行った。残留物に対して、再び同容量の MeOH を加え、ソニケーターで 30 分間処理した後に、再度のひだろ過を行った。さらにこの残留物に対してもう一度同様の操作を行い、3 回の抽出操作で得られたろ液を合わせた。ろ液を減圧下で濃縮後、真空下で乾燥させ、抽出物の重量を測定した。得られた抽出物は、100 mg/mL となるように DMSO に溶解し、使用時まで-20°C で保存した。

2) URAT1 による尿酸取り込み実験

各種トランスポーターを含む膜タンパク質の裏打ちタンパク質として知られる PDZK1 を安定発現させたヒト腎由来株化細胞 HEK293/PDZK1 細胞、ならびにヒト URAT1 を含む pCMV-SPORT6 プラスミドは、金沢大学大学院薬学研究科分子薬物治療学研究室の加藤将夫教授、杉浦智子助教より分与されたものを使用した。HEK293/PDZK1 細胞は、1 mg/mL

G418 (ナカライトスク、京都)、10% ウシ胎児血清 (FBS、Invitrogen、Carlsbad、CA、USA) を含む Dulbecco's modified Eagle's medium (DMEM、Sigma-Aldrich、St. Louis、MO、USA) を培地として、75 cm² フラスコ (Becton Dickinson Labware、Franklin Lakes、NJ、USA) で培養し、80~90% コンフルエントになるごとに継代維持した。実験に使用する際には、20 µg/mL の poly-L-lysine (Sigma) を含む 0.02% 酢酸溶液で 1 時間以上のコーティング処理した 24 well 培養プレートに、HEK293/PDZK1 細胞を 2.5×10^5 cells / well となるように播種した。一晩培養して細胞の接着を確認した後、ヒト URAT1 を含む pCMV-SPORT6 プラスミド (1 µg / well) を Hilly Max (同仁化学、東京) を用いたリポフェクション法により細胞内へ導入した。Mock 細胞として、遺伝子を組み込んでいない pCI-neo プラスミド (Promega Corporation、Madison、WI、USA) を同様の方法で細胞内へ導入した。48 時間の培養の後、尿酸の取り込み実験を行った。

[¹⁴C] 尿酸 (室町薬品、東京) を取り込み実験用緩衝液 (125 mM NaCl、4.8 mM KCl、1.2 mM CaCl₂、1.2 mM KH₂PO₄、1.2 mM MgSO₄、25 mM HEPES、5.6 mM glucose、pH 7.4) に $0.625 \mu\text{Ci} / \text{mL} = 11.6 \mu\text{M}$ の濃度で溶解した。URAT1 遺伝子を導入した HEK293 細胞の細胞培養用培地を吸引除去した後、37°C の取り込み実験用

緩衝液 200 µL / well を添加し、37°C で 8 分間のプレインキュベーションを行った。緩衝液を吸引除去後、[8-¹⁴C] 尿酸および生薬エキスを含む取り込み実験用緩衝液を 200 µL 加え、30 分間、37°C でインキュベーションした。緩衝液を吸引除去し、1 mL / well の氷冷リン酸緩衝生理食塩水 (0.15 M、pH 7.2) で細胞表面を 3 回洗浄した後、200 µL の 0.2 N NaOH / 0.2% SDS を添加して一晩室温でインキュベートし、細胞を溶解させた。細胞溶解液に 2N HCl を 20 µL 加えて中和処理を行った後、液体シンチレーションカウンター測定用パイアルに移し、RI 活性を測定した。尿酸取り込み活性は、(生薬エキスで処理した URAT1 導入 HEK293/PDZK1 細胞の RI 活性 - Mock 細胞の RI 活性) / (無処置 URAT1 導入 HEK293/PDZK1 細胞の RI 活性 - Mock 細胞の RI 活性) をパーセンテージ (% of control) として表記した。

3) 生薬サンプルの細胞毒性試験

URAT1 阻害活性が認められた生薬については、その作用が細胞毒性による見かけのものではないことを確認するための試験を行った。Poly-L-lysine でコーティング処理した 96 well 培養プレートに HEK293/PDZK1 細胞を 6.25×10^4 個 / well となるように播種し、一晩培養した。培地を交換後、生薬エキスを含む取り込み実験用緩衝液で 30 分間、37°C インキュベーションを行い、緩衝

液を吸引除去後、通常の培地に交換して1時間培養した。培地を吸引除去後、0.5 mg/mL の MTT (Sigma) を含む培地を添加して4時間培養し、その後同容量の10% SDS 水溶液を添加し、一晩 37°C インキュベーションを行った後、570 nm の吸光度を測定した。0.78 × 10³ ~ 1.25 × 10⁵ 個 / well で細胞を播種し無処置とした細胞での吸光度から、細胞数と吸光度間で相關する検量線を別に作成し、生細胞数を算出した。

4) 生薬Bエキスの大量調製と分画

URAT1 阻害活性が認められた生薬のうち、まずは生薬Bについて、活性成分の単離を試みた。生薬B (500 g) に 2.5 L の MeOH を加え、30 分間超音波処理して抽出後、ひだろ過を行った。残渣に 2.5 L の MeOH の添加・30 分間の超音波処理・ひだろ過という一連の操作を計4回行った後、全てのろ液を合わせて減圧濃縮した。得られたエキスを 500 mL のイオン交換水に懸濁し、150 mL のヘキサンで3回、150 mL の酢酸エチルで4回、150 mL の水飽和ブタノールで4回分液し、ヘキサン画分、酢酸エチル画分、ブタノール画分、水画分に分画した。ヘキサン画分については、シリカゲル薄層クロマトグラフィー（薄層板、Merck シリカゲル 60F254、0.2 mm；移動層、ヘキサンまたはヘキサン／アセトン 8:2；発色、アニスアルデヒド硫酸）、ブタノール画分については高速液体クロマトグラフィー（HPLC；カラ

ム；Cosmosil C₁₈-ARS、4.6 x 150 mm；移動層、水／MeOH 70:30 → 0:100 (0 → 60 min、直線勾配)、1.0 mL/min, 50°C；検出、UV 254 nm および 340 nm）により、含有する化合物の分析を行った。

5) ABCG2 発現細胞膜ベシクルの調製

ヒト ABCG2 cDNA を pEGFP-C1 vector (Invitrogen, Carlsbad, CA, USA) に組み込んだプラスミドを HEK293 細胞に FuGENE 6 Transfection Reagent (Roche Applied Science, Basel, Switzerland) を用いて導入後、500 µg/mL G418 (ナカライトスク、京都)、10% FBS を含む DMEM 培地 (Sigma-Aldrich, St. Louis, MO, USA) で培養し、ABCG2 高発現細胞株を単離した。得られた ABCG2 高発現細胞株は上記培地を用いて、10 cm シャーレで培養し、80~90% コンフルエンツになるごとに継代維持した。

ABCG2 発現膜ベシクルを調製するために、100 % コンフルエンツの ABCG2 高発現細胞株を 10 cm シャーレ 5 枚分以上用意し、セルスクレーパーにより回収した。回収した細胞株は 40 mL の Hypotonic Buffer (1 mM Tris, 0.1 mM EDTA, pH 7.4 at 4°C) で懸濁し、氷上で 1 時間、穏やかに攪拌した。1 時間後、懸濁液を 100,000 G にて 30 分間 4°C で超遠心し、得られたペレットを 10~12 mL の Isotonic TS buffer (10 mM Tris, 250 mM

sucrose、pH 7.4 at 4°C)で再懸濁した。懸濁液をガラス製 Dounce 型ホモジナイザー (Tight) を用いて 30 回 Stroke し、ホモジネイトを調製した。上記ホモジネイト 4~5 mL を 38% (wt./vol.) sucrose / 5 mM Tris-HEPES 溶液 8 ml の上に静かに上層し、280,000 G、4°Cにて 45 分間の超遠心を行った。中間層に現れる turbid layer を回収し、20 mL の Isotonic TS buffer を加えて転倒混和し、100,000 G にて 30 分間、4°Cで超遠心を行った。得られたペレットを Isotonic TS buffer 200~400 μL で懸濁し、25 ゲージの注射針に 30 回通過させることで ABCG2 発現細胞膜ベシクルを調製した。

GFP 高発現細胞株から上記と同様の方法により細胞膜ベシクルを調製し、コントロール細胞膜ベシクルとした。

6) ABCG2 発現細胞膜ベシクルを用いた尿酸輸送実験 (図 1)

Transport buffer (10 mM Tris, 250 mM sucrose, 10 mM MgCl₂, pH 7.4 at 37°C) に [¹⁴C]-labeled Uric Acid (UA、室町薬品、東京)、creatine phosphate ならびに creatine phosphokinase をそれぞれ終濃度 28 μM、10 mM、100 μg/ml になるように添加し、ATP または AMP を終濃度 5 mM となるように加えて Assay buffer とした。上記 Assay buffer (20 μL) に 各膜ベシクル (10 μg) と各試験化合物 (終濃度 1 – 1000 μM) を添加し、37°Cで 5 分間インキュベートし

た。インキュベート終了後、あらかじめ氷上で冷やしておいた Stop buffer (250 mM sucrose, 0.1 M NaCl, 10 mM Tris, pH 7.4 at 4°C) を 1 mL 加えて Vortex をした後、900 μL を Membrane filter (Millipore Corporation、Billerica、MA、USA) にて吸引ろ過して、ベシクルを回収した。Membrane filter を Stop buffer 5 mL で 2 回 Wash し、クリアゾル I (ナカライトスク) で可溶化したもの測定サンプルとした。各サンプルの放射活性は液体シンチレーションカウンターで測定した。各サンプルの放射活性を Assay buffer 中の放射活性で除すことにより尿酸輸送活性を算出した。

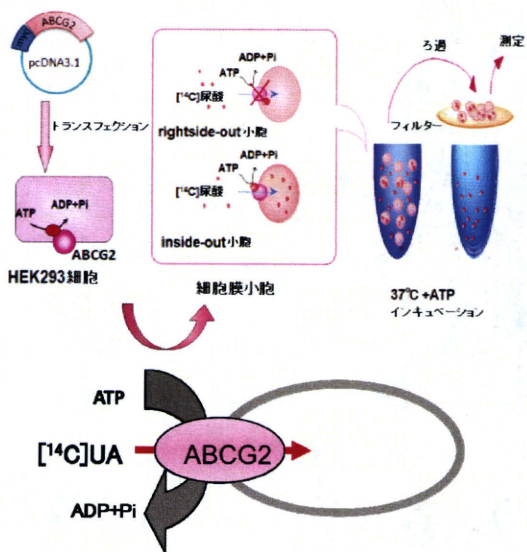


図1 ABCG2発現膜ベシクルを用いた尿酸輸送実験

7) ABCG2 プロモーター領域を組み込んだレポータープラスミドの構築

ヒト ABCG2 遺伝子の転写開始点を基準 (0bp) として、上流 4058 番目の塩基 (-4058bp) から下流 712 番目の塩基 (+712bp) までを PCR 法によりクローニングし、pGL3 Basic vector (Promega) に組み込んだ。

また、マウス ABCG2 遺伝子の転写開始点を基準として、-1197bp から +162bp までを PCR 法によりクローニングし、pGL3 Basic Vector に組み込んだ。

さらに、ヒト PPAR γ cDNA (Accession No. NM_138712) を PCR 法により増幅し、pcDNA3.1 (+) vector (Invitrogen) に組み込むことにより、PPAR γ 発現プラスミドを構築した。

8) ABCG2 プロモーター領域を用いたルシフェレースアッセイ (図 2)

7)で構築したレポータープラスミドの活性を評価するため、ルシフェレースアッセイを行った。

まず、各細胞を以下の条件で 24 well 培養プレートに播き、培養した。

- HepG2 細胞: 1.5×10^5 cells / well の濃度で播種後、1% L-glu、1% ピルビン酸、1% PCSM、10% チャコール処理 FBS を含む DMEM 培地 (Phenol red 不含、High glucose) (Sigma-Aldrich) で培養した。

- Caco-2 細胞: 1.0×10^5 cells / well の濃度で播種後、1% L-glu、1% ピ

ルビン酸、1% PCSM、1% NEAA、10% チャコール処理 FBS を含む MEM 培地 (Phenol red 不含、High glucose) で培養した。

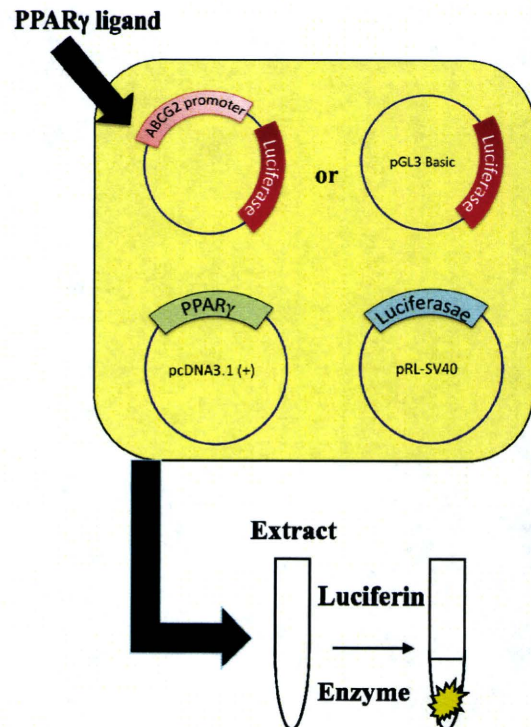


図2 ルシフェレースアッセイによる
ABCG2プロモーター活性の評価系

- CMT93 細胞: 1.5×10^5 cells / well の濃度で播種後、1% PCSM、10% FBS (biosystems) を含む DMEM 培地 (Low glucose) (Sigma-Aldrich) で培養した。

24 時間後、各プラスミドを細胞に遺伝子導入した。プラスミドの導入方法を以下に記す。

- HepG2 細胞、Caco-2 細胞: ヒト ABCG2 プロモータープラスミド (0.5 μ g / well)、PPAR γ 発現プラスミド (0.5 μ g / well)、および、コントロール用

プラスミドとして、pGL3 Basic vector (0.5 µg / well) ならびに pcDNA3.1(+) vector (0.5 µg / well) を用いてプラスミド Mix を作製した。全てのプラスミド Mix には、 pRL-SV40 vector (0.05 µg / well) (遺伝子導入効率の補正用)を添加した。

上記プラスミド Mix と FuGENE 6 Transfection Reagent (導入プラスミド量の 3 倍量) を FBS 不含の培地中で混和し、Premix とした。各 Premix を細胞に添加し、37°Cにて 6 時間のインキュベーションを行い、遺伝子導入を行った。

・CMT93 細胞：マウス ABCG2 プロモータープラスミド (0.8 µg / well) (コントロール用プラスミドは pGL3 Basic vector (0.8 µg / well)) と pRL-SV40 vector (0.08 µg / well) のプラスミド Mix に Lipofectamine 2000 Reagent (2 µL / well) (Invitrogen) を添加し、Premix とした。各 Premix を細胞に添加し、37°C にて 6 時間のインキュベーションを行い、遺伝子導入を行った。

遺伝子導入から 24 時間後、試験化合物 (Pioglitazone (100 µM)、Troglitazone (100 µM)) を添加した後、遺伝子導入から 36 時間後に、 Dual-Luciferase Reporter Assay System (Promega) を用いてルシフェレースアッセイを行った。ホタルルシフェレース活性 (pGL3 Basic vector 由来) の測定値をウミシイタケルシフェレース活性 (pRL-SV40 vector 由来) の測定値で補正し、ルシ

フェレース活性値とした。

9) PPAR γ ノックダウン細胞の作製

マウス PPAR γ を標的とした siRNA (GAUCUUGACAGGAAAGACAdTdT) を 7.5 µL の Lipofectamine 2000 とともに FBS 不含の DMEM 培地 (High glucose) 500 µL 中に添加し、15 分間室温でインキュベーションした。コントロール siRNA としては、 siControl (Sigma Aldrich) を用いた。つづいて、Hepa1-6 細胞を 1% PCSM、10% FBS を含む DMEM 培地 (High glucose) で懸濁し、6 well 培養プレートに 2.5×10^5 cells / well で播種した後、上記 Premix を siRNA の終濃度が 125 pmol / well となるよう添加した。

48 時間後、RNA-solv Reagent (Omega Bio-Tek、Norcross、GA、USA) を用いて細胞を可溶化し、total RNA を抽出した。その後、ReverTra Ace® qPCR RT Kit (TOYOBO、大阪) を用いた逆転写反応により cDNA サンプルを得た。PPAR γ ノックダウン効率は、SyBR GreenER qPCR SuperMix (Invitrogen) を用いた定量的 PCR により解析した。使用したプライマー配列を以下に記す。

マウス PPAR γ sense:
5'-GTCATTATTCTCAGTGGAGACC
G-3'、マウス PPAR γ antisense:
5'-TGACGATCTGCCTGAGGTCTG
T-3'、マウス ABCG2 sense:
5'-TGCCAGGCGCTCATTTAAAA-3'、
マウス ABCG2 antisense:

5'-CCAGCGGCATCATATTTCAGA-
3' 、 β -actin sense:
5'-TTCAACACCCCCAGCCATGTACG
-3' 、 β -actin antisense:
5'-GTGGTGGTGAAAGCTGTAGCC-3'。

PPAR γ およびABCG2のmRNA量は、 β -actinのmRNA量で規格化することにより、相対発現量として算出した。

10) ABCG2 の 3'非翻訳領域を介した RNA 安定性制御に関する検討(図3)

ヒトABCG2の3'非翻訳領域をPCR法によりクローニングし、pGL3 promoter vector (Promega)に組み込んだ。得られたプラスミドを用いたルシフェレースアッセイを行い、3'非翻訳領域がRNAの安定性に及ぼす影響について評価した。

HepG2細胞を 1.5×10^5 cells / well の濃度で播種後、1% L-glu、1% ピルビン酸、1% PCSM、10% チャコール処理 FBS を含む DMEM 培地 (Phenol red 不含、High glucose) で培養した。24時間後、ヒトABCG2 3'非翻訳領域含有プラスミド (0.5 μ g / well) または pGL3 promoter vector (0.5 μ g / well) (コントロール用プラスミド) に pRL-SV40 vector (0.05 μ g / well) (遺伝子導入効率の補正用)を添加したプラスミド Mix を調製し、FuGENE 6 Transfection Reagent (導入プラスミド量の3倍量) を用いて遺伝子導入を行った。遺伝子導入から48時間後に Dual-Luciferase Reporter

Assay System を用いてルシフェレースアッセイを行った。ホタルルシフェレース活性 (pGL3 promoter vector 由来) の測定値をウミシイタケルシフェレース活性 (pRL-SV40 vector 由来) の測定値で補正し、ルシフェレース活性値とした。

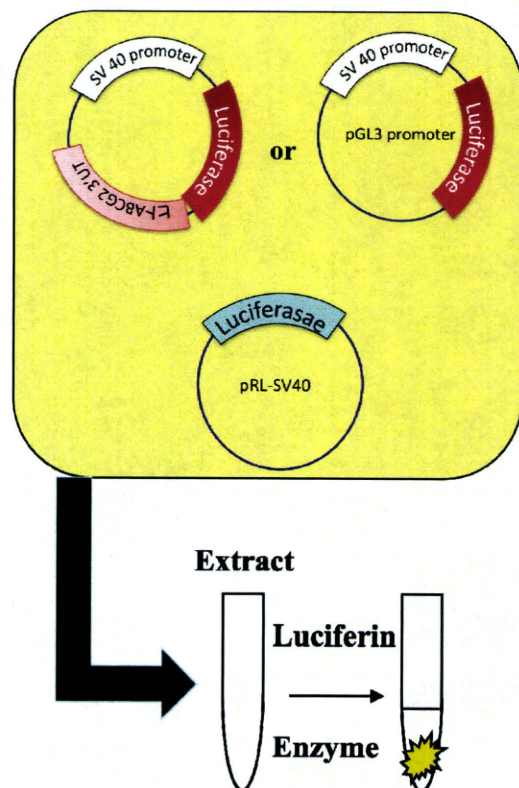


図3 ルシフェレースアッセイによる ABCG2 3'非翻訳領域の活性評価系

11) 倫理面への配慮

本研究で取り扱った標的遺伝子の遺伝子組み換え実験については、研究実施機関における組み替えDNA実験安全委員会の承認を得て行った。

C. 研究結果

1) URAT1 阻害活性を持つ生薬のスクリーニング

生薬から MeOH で抽出したエキスの収率を、添付資料 1・1 に示した。エキス収率は生薬間で 0.64%～60.2% という大きな差を生じ、平均値は 9.7% であった。

得られた生薬エキスの 100 $\mu\text{g} / \text{mL}$ 存在下において尿酸取り込み実験を行い、非存在下における取り込み活性と比較して算出した URAT1 阻害活性を、添付資料 1・2 に示した。50%以上 の阻害率を示した生薬は、生薬 A (23%)、カンキョウ (23%)、ケイガイ (46%)、生薬 B (46%)、コウブシ (17%)、ゴボウシ (22%)、生薬 F (0%)、生薬 C (0%)、生薬 D (0%)、ソウジュツ (0%)、ドクカツ (17%)、生薬 E (0%) の 12 種であった。

それら 12 種の生薬エキスに関して、細胞毒性試験を行った。その結果、カンキョウ、ケイガイ、コウブシ、ゴボウシ、ソウジュツ、ドクカツ処理により、有意な細胞数の減少が認められ、これらの生薬エキス存在下における見た目の尿酸取り込み活性の低下は細胞毒性を反映したものであると考えられた。

細胞毒性が認められたものを除いた 6 種の生薬のうち、生薬 A、生薬 B、生薬 C、生薬 D、生薬 E の MeOH エキスの URAT1 阻害活性の用量依存性実験の結果を、添付資料 1・3～1・7 に示した。5 種の生薬エキスにおいて、用量依存的な URAT1 阻害活性が見出

された一方で、生薬 F については、再現性のある安定した結果が得られなかつたため、含有化合物の不安定性が課題となるサンプルと考えられた。そこで、本研究で探索対象とする生薬として、生薬 A、生薬 B、生薬 C、生薬 D、生薬 E の 5 種の生薬を選択することにした。

2) 生薬 B に含まれる URAT1 阻害活性物質の探索

1) のスクリーニングで得られた生薬 A～E のうち、細胞毒性が最も弱かった生薬 B を第一のターゲットとし、有効成分を単離するためのさらなる検討を行った。生薬 B に含まれている既知化合物として、生薬 B の指標成分ともなっている化合物 G が知られており、試薬として市販されている化合物 H も各種文献により生薬 B に含有されていることが明らかになっていることから、化合物 G と化合物 H の URAT1 阻害活性について評価した。両化合物を和光純薬（大阪）より購入し、10 または 100 μM における URAT1 阻害活性を測定した（添付資料 2・1）。その結果、両化合物による URAT 阻害活性が認められなかったことから、生薬 B に含まれる他の化合物が URAT1 阻害活性を有すると考え、生薬 B の MeOH エキスを分画し、活性成分を探索することとした。

生薬 B 500 g を MeOH で抽出し、30 g (収率 6.0 %) のエキスを得た。このエキスのうち 28 g を用いて、分液操作によりヘキサン画分 (7.0 g)、

酢酸エチル画分（3.8 g）、ブタノール画分（8.7 g）、水画分（7.3 g）に分画した。それぞれの分画物について、もとの生薬 B MeOH エキス 100 $\mu\text{g}/\text{mL}$ に相当する濃度における URAT1 阻害活性を評価した。その結果、ヘキサン画分とブタノール画分が阻害作用を有する可能性が示唆された（添付資料 2-2）。このことから、生薬 B に含まれる URAT1 阻害活性成分は単一ではなく、複数の化合物の有する阻害活性により大きな阻害が見られていることが考えられた。

各画分に含まれる有効成分の単離を目指し、さらなる検討を行った。ヘキサン画分をシリカゲル薄層クロマトグラフィー（ヘキサンまたはヘキサン／アセトン 8 : 2）で展開したところ、少なくとも 16 種類の化合物の存在が確認された（添付資料 2-3、A および B）。また、ブタノール画分について、逆相カラムを用いた高速液体クロマトグラフィー（水／MeOH 70 : 30 → 0 : 100）による分析を行った結果、UV 吸収をもつ化合物として、少なくとも 15 種類の化合物の存在を確認することができた（添付資料 2-3、C）。今後、これらの化合物を単離し、URAT1 活性阻害を測定して生薬 B の有効成分を同定していく。

3) ABCG2 による尿酸輸送活性に関する *in vitro* 評価系の構築

ABCG2 発現細胞膜ベシクルを用いた *in vitro* 尿酸輸送実験を行ったところ、ABCG2 発現細胞膜における ATP

存在下でのベシクル内尿酸量は、コントロール細胞膜ベシクルに比べて約 3 倍程度に増加しており（添付資料 3-1）、本実験系が ABCG2 の尿酸輸送活性を評価する上で有用であることが示唆された。そこで、本実験系を用いて、血中尿酸値を変動させることができられている Benzbromarone および Losartan が ABCG2 による尿酸輸送活性に及ぼす影響についての検討を行った。その結果、両薬物とともに用量依存的に ABCG2 の尿酸輸送活性を阻害することが明らかとなった（添付資料 3-2、3-3）。今後、ABCG2 による尿酸輸送に対して各種生薬エキスのもたらす影響について、検討を進める。

4) ABCG2 の転写活性に着目した *in vitro* 評価系の構築

はじめに、ABCG2 のプロモーター領域が有する転写活性について、ルシフェラースアッセイにより評価する *in vitro* 実験系の構築を行った。ヒト肝臓由来の HepG2 細胞、ヒト消化管由来の Caco-2 細胞において、ヒト ABCG2 プロモーター領域を組み込んだプラスミドはコントロールプラスミドと比較し、有意なルシフェラース活性の上昇をもたらしたことから（添付資料 4-1）、両細胞において、ヒト ABCG2 プロモーター領域が転写活性を有することが確認された。

ABCG2 が核内受容体 PPAR γ により正の転写制御を受けることが報告されていたため、構築した実験系における PPAR γ の影響を解析した。

HepG2 細胞に PPAR γ 発現プラスミドとレポータープラスミドとを共導入した結果、ヒト ABCG2 プロモーター存在下においてのみ、PPAR γ によるルシフェレース活性の有意な上昇が見出された（添付資料 4・2）。さらに、添付資料 4・3 および 4・4 に示すように、PPAR γ のアゴニストとして知られる Troglitazone、Pioglitazone を添加することで、ABCG2 のプロモーター活性のさらなる亢進が見られた。同様の検討を Caco-2 細胞を用いて行ったところ、HepG2 細胞と同様、PPAR γ の共発現ならびに Pioglitazone 存在下において転写活性の有意な上昇が認められた（添付資料 4・5）。これらの結果から、本研究により構築された実験系はヒト ABCG2 の転写活性を評価する上で有用な評価系となりえると考えられた。

また、マウスを用いた *in vivo* における検討も考慮し、マウス ABCG2 プロモーター領域の転写活性を評価する *in vitro* 実験系の構築を試みた。ヒト ABCG2 と同様にルシフェレースアッセイによる検討を行ったところ、マウス消化管由来の CMT93 細胞においてマウス ABCG2 プロモーターによる有意なルシフェレース活性の上昇が見出された（添付資料 4・6）。このことは、本実験系がマウス ABCG2 の転写活性評価に利用可能であることを示唆している。

今後は、得られた ABCG2 プロモーター活性の評価系を用いて、各種生薬エキスが ABCG2 の転写活性にもたら

す影響についての検討を行う。

ABCG2 の転写活性を変動させる生薬成分が見つかった場合には、その発現調節機構における PPAR γ の関与について解析を行う予定である。具体的には、PPAR γ 遺伝子ノックダウン細胞を用いた実験系を考えている。添付資料 4・7 に示すように、PPAR γ を標的とした siRNA を肝臓由来の Hepa1-6 細胞に導入することで、PPAR γ の mRNA 発現量は 33% 程度にまで低下した。このときに ABCG2 の mRNA 量が 55% 以下にまで低下したことは、Hepa1-6 細胞において、内因性 PPAR γ による ABCG2 転写調節が行われていることを示していると考えられる。今後は、PPAR γ ノックダウン細胞とコントロール細胞を対比しながら、各種生薬エキスおよび各種生薬成分による ABCG2 発現量変動について詳細な検討を進める予定である。

5) ABCG2 の RNA 安定性制御に関する *in vitro* 評価系の構築

ABCG2 の 3' 非翻訳領域には、microRNA が結合する領域が存在し、RNA の分解速度制御が行われていることが知られている。そこで、ABCG2 の 3' 非翻訳領域を介した RNA 分解活性について、ルシフェレースアッセイにより評価する *in vitro* 実験系の構築を試みた。ヒト ABCG2 の 3' 非翻訳領域を組み込んだレポータープラスミドを HepG2 細胞に導入したところ、コントロールプラスミドと比較してルシフェレース活性の有意な低下が

見出された（添付資料 5-1）。この低下は ABCG2 の 3'非翻訳領域を介した RNA 分解活性を反映していると考えられたため、今後は各種生薬エキスが ABCG2 の RNA 安定性に及ぼす影響についての検討を進める。

D. 考察

わが国で漢方薬の原料として流通している生薬は約400種類であるが、そのうち使用量が多く汎用性の高いと考えられる111種の生薬を入手し、本研究におけるスクリーニング対象とした。この生薬数は、一般用漢方製剤263種の9割以上、医療用漢方エキス製剤148種すべてを調剤、製造できる数に相当し、日本で利用されている漢方薬の有効性を探索するためには十分な量と考えられる。今回は、この111種類の生薬それぞれについてMeOH抽出したエキスを調製し、さまざまな薬理活性を探索できるようなライブラリーを作成した。生薬は1種類であってもその中には無数の化合物を含むことになるため、このライブラリーは本研究だけでなく、さまざまな薬理活性を対象とした創薬研究に応用可能なものである。なお、今後も生薬入手の試みは継続して行い、ライブラリーを拡充していく予定である。

研究初年度である今年度は、このライブラリーを用いて、URAT1の機能を阻害する活性を持つ化合物の探索研究を行った。その結果、111種類の生薬から12種類の陽性サンプルを得ることが出来、細胞毒性試験により細胞毒性が認められなかった5種の生薬を選択することが出来た。新薬の開発に成功する確率は、一般的に1~2万化合物のうちの1つとされていることを考えると、現段階では生薬エキスという無数の化合物を含んだ混合物ではあるものの、比較的高い確率で有

用な化合物を含んでいるグループを見出すことができたことになる。

見出された5種の生薬のうち、生薬Bについて、さらなる活性成分の絞り込みを試みた。生薬Bの作用は他の4生薬と比較して高くはなかつものの、5生薬のうちでは細胞毒性が最も弱かったこと、漢方薬に配合される生薬として最も汎用性が高く多くの漢方薬の有効成分が得られる可能性があることから選択した。常法により分画を行い、有効成分の候補として計31種類の化合物の存在を確認することに成功した。来年度以降、候補化合物のうちどの化合物が有効成分であるのかについて検討を進めるとともに、他の4種類の生薬についても、同様のアプローチにより探索研究を行っていく。

GLUT9による尿酸輸送に対する各種生薬エキスのもたらす影響についても、現在実験系の構築を進めており、URAT1と対比しながら研究を進めていく予定である。

ABCG2の尿酸輸送活性についての検討の結果、URAT1阻害作用を持つことが知られるBenzbromaroneおよびLosartanが、ABCG2による尿酸輸送に対しても阻害活性を有することが明らかとなった。この結果は、尿酸トランスポーターの阻害剤感受性における共通性の存在を示唆するものである。一方で、ABCG2による尿酸排出を阻害しないURAT1阻害剤は、より効果的な尿酸排泄促進作用をもたらす可能性を示唆する知見であり、

別添 3

来年度以降の検討によりこのような生薬成分が見出されれば、きわめて有望な尿酸低下薬候補化合物となる。

ABCG2 の発現調節に関しては、ヒトおよびマウス ABCG2 が PPAR γ による転写制御を受けていることが見出された。漢方薬 TongXinLuo の報告も含め、PPAR γ 活性化作用をもたらす可能性のある天然化合物は多数知られており、今後のスクリーニングにより ABCG2 の発現誘導活性を有する生薬成分が同定されることを期待している。

E. 結論

今年度の検討により、111種類の生薬から MeOH 抽出エキスのライブラリーを得ることができた。URAT1 による尿酸輸送に対する阻害活性を指標にスクリーニングを行った結果、URAT1 阻害作用を持つ可能性のある生薬として 12 種類が選択された。そのうち、細胞毒性の認められない 5 種の生薬については今後の検討を進める予定であり、今年度に優先的に研究を進めた 1 つの生薬については、有効成分の候補として 31 種の化合物の存在を見出すことに成功した。来年度以降、URAT1 阻害作用を持つ生薬成分に関してさらなる解析を行うとともに、GLUT9 による尿酸輸送活性、ABCG2 の輸送活性・転写活性に関しても生薬ライブラリーを用いた検討を行う予定であり、尿酸低下作用をもたらす漢方薬・生薬の成分同定を進めしていく。

F. 健康危険情報

該当ありません。

G. 研究発表

以下には 2010 年度に出版された、または 2011 年に出版される予定の論文のリスト、および 2010 年度に行つた学会発表のリストを示す。

【原著論文】

1. Ikebuchi, Y., Ito, K., Takada, T., Anzai, N., Kanai, Y., Suzuki, H.: Receptor for activated C-kinase 1 regulates the cell surface expression and function of ATP binding cassette G2. Drug Metab Dispos. 2010;38:2320-2328.
2. Aoki, S., Honma, M., Kariya, Y., Nakamichi, Y., Ninomiya, T., Takahashi, N., Udagawa, N., Suzuki, H.: Function of OPG as a traffic regulator for RANKL is crucial for controlled osteoclastogenesis. J Bone Miner Res. 2010;25:1907-1921.
3. Honma, M., Kozawa, M., Suzuki, H.: Methods for the quantitative evaluation and prediction of CYP enzyme induction using human in vitro systems. Expert Opinion on Drug Discovery. 2010;5:491-511.
4. Masuo, Y., Ito, K., Yamamoto, T., Hisaka, A., Honma, M., Suzuki, H.: Characterization of inhibitory effect of carbapenem antibiotics on the deconjugation of valproic acid glucuronide. Drug Metab Dispos. 2010;38:1828-1835.
5. Iwayanagi, Y., Takada, T., Tomura, F., Yamanashi, Y., Terada, T., Inui, K., Suzuki, H.: Human NPC1L1 expression is positively regulated by PPARalpha. Pharm Res. 2011;28:405-412.
6. Kariya, Y., Honma, M.,

- Hanamura, A., Aoki, S., Ninomiya, T., Nakamichi, Y., Udagawa, N., Suzuki, H.: Rab27a and Rab27b are involved in stimulation-dependent RANKL release from secretory lysosomes in osteoblastic cells. *J Bone Miner Res.* 2011;26:689-703.
7. Yoshikado, T., Takada, T., Yamamoto, T., Yamaji, H., Ito, K., Santa, T., Yokota, H., Yatomi, Y., Yoshida, H., Goto, J., Tsuji, S., Suzuki, H.: Itraconazole-induced cholestasis: involvement of the inhibition of bile canalicular phospholipid translocator MDR3/ABCB4. *Mol Pharmacol.* 2011;79:241-250.
8. Soga, T., Sugimoto, M., Honma, M., Mori, M., Igarashi, K., Kashikura, K., Ikeda, S., Hirayama, A., Yamamoto, T., Yoshida, H., Otsuka, M., Tsuji, S., Yatomi, Y., Sakuragawa, T., Watanabe, H., Nihei, K., Saito, T., Kawata, S., Suzuki, H., Tomita, M., Suematsu, M.: Serum Metabolomics Reveals gamma-Glutamyl Dipeptides as Biomarkers for Discrimination among Different Forms of Liver Disease. *J Hepatol.* (in press)
9. Yamanashi, Y., Takada, T., Yoshikado, T., Shoda, J. I., Suzuki, H.: NPC2 Regulates Biliary Cholesterol Secretion via Stimulation of ABCG5/G8-Mediated Cholesterol Transport. *Gastroenterology.* 2011;140:1664-1674.
10. Hayashi, K., Shimura, K., Makino, T., Mizukami, H.: Comparison of the contents in kampo decoction containing ephedra herb when prepared simply or by re-boiling method according to the traditional theory. *J Nat Med.* 2010;64:70-74.
11. Sumi, A., Hanada, N. Y., Bai, F., Makino, T., Mizukami, H., Ono, T.: Roles of coagulation pathway and factor Xa in the progression of diabetic nephropathy in db/db mice. *Biol Pharm Bull.* (in press)
12. 牧野利明: 「臨床生薬学」の歴史～創始者、山口広次の果たした功績. 薬史学雑誌. 2010;45:126-129.

【総説・著書】

1. 高田龍平: BCRP/ABCG2 の遺伝子多型と薬物動態変動・痛風発症リスク. *Drug Metabolism and Pharmacokinetics.* 2010;25:5-8.
2. 阿部敏秀, 本多秀俊, 大野能之, 鈴木洋史: Let's! 服薬コミュニケーション, クロピドグレル硫酸塩. スズケンファーマ. 2010;13:2-5.
3. 安達さとみ, 本多秀俊, 大野能之,